

УДК 539.3

© 1991 г.

С. М. АЙЗИКОВИЧ, И. С. ТРУБЧИК, Е. В. ШЛЯРОВА

ВНЕДРЕНИЕ ШТАМПА В НЕОДНОРОДНУЮ ПО ГЛУБИНЕ ПОЛОСУ

Излагается метод сведения контактной задачи для неоднородной по глубине полосы к парному интегральному уравнению. Изменение коэффициентов Ламе по глубине в полосе носит общий характер (произвольная непрерывная неоднородность или пакет однородных полос).

1. Введение. Методы решения интегрального уравнения контактной задачи для однородной полосы подробно рассматривались в [1, 2]. В случае непрерывно-неоднородной по глубине полосы возникают трудности при сведении задачи к интегральному уравнению, связанные с решением системы дифференциальных уравнений с переменными коэффициентами. Этого можно избежать, рассматривая специальные виды неоднородности по глубине, как, например, в [3]. В ряде работ использовался приближенный метод, основанный на замене непрерывно-неоднородного основания многослойным пакетом [4, 5]. В данной работе при построении трансформанты ядра интегрального уравнения используется метод моделирующих функций [6].

Построенная численно трансформанта ядра аппроксимируется выражением специального вида, что позволяет получить замкнутое решение приближенного интегрального уравнения. Доказывается, что построенное приближенное решение является асимптотически точным при $\lambda \rightarrow 0$ и $\lambda \rightarrow \infty$.

Изучается влияние различных законов и скорости изменения с глубиной коэффициентов Ламе в полосе на распределение контактных напряжений при различных λ ($\lambda = H/a$, здесь H — толщина полосы, a — полуширина штампа). Устанавливается связь между силой, вдавливающей штамп в неоднородную полосу, и его осадкой при различных законах неоднородности и формах штампа. Задача поставлена в связи с расчетами ленточных фундаментов на неоднородных по глубине грунтах, подстилаемых скальным основанием.

2. Постановка задачи. Недеформируемый штамп вдавливается в верхнюю границу (Γ) упругой неоднородной полосы силой P . При этом длина линии контакта между ними (Γ_1) в плане равна $2a$. С полосой связана декартова система координат (x, y) . Предполагается, что силы трения между штампом и полосой отсутствуют. Вне штампа полоса не нагружена. Под действием силы P штамп перемещается по оси y на величину δ .

Коэффициенты Ламе Λ и M полосы с глубиной изменяются по закону

$$\Lambda = \Lambda(y), \quad M = M(y), \quad y \in [-H; 0] \quad (2.1)$$

Здесь $\Lambda(y)$, $M(y)$ — произвольные гладкие функции.

Рассматриваем следующие задачи: задача 1 — полоса жестко соединена с недеформируемым основанием, задача 2 — полоса без трения покоится на недеформируемом основании.

Граничные условия при сделанных предположениях имеют вид (задача 1 и задача 2 соответственно):

$$u(x, -H) = v(x, -H) = 0 \quad (2.2)$$

$$u(x, -H) = 0, \quad \tau_{xy}(x, -H) = 0 \quad (2.3)$$

Для задач 1 и 2:

$$\tau_{xy}(x, 0) = 0 \quad (2.4)$$

$$v(x, 0) = -f(x) = -[\delta - \gamma(x)], \quad |x| \leq a \quad (2.5)$$

$$\sigma_y(x, 0) = 0, \quad |x| > a \quad (2.6)$$

Здесь $u(x, y)$, $v(x, y)$ — соответственно горизонтальное и вертикальное перемещение, τ_{xy} , σ_y — касательное и нормальное напряжение, $\gamma(x)$ — форма основания штампа. Предполагаем, что при $|x| \rightarrow \infty$ напряжения в полосе исчезают.

Необходимо определить распределение контактных нормальных напряжений под штампом

$$\sigma_y(x, 0) = -q(x), \quad |x| \leq a \quad (2.7)$$

а также связь между вдавливающей силой P и осадкой штампа δ .

3. Построение интегрального уравнения, соответствующего задачам 1 и 2. Используем уравнения плоской задачи теории упругости [7]:

$$\partial \sigma_x / \partial x + \partial \tau_{xy} / \partial y = 0, \quad \partial \tau_{xy} / \partial x + \partial \sigma_y / \partial y = 0 \quad (3.1)$$

$$\sigma_x = \Lambda(y) \Theta + 2M(y) \partial u / \partial x, \quad \sigma_y = \Lambda(y) \Theta + 2M(y) \partial v / \partial y,$$

$$\tau_{xy} = M(y) \left[\frac{\partial u}{\partial y} + \frac{\partial v}{\partial x} \right], \quad \Theta = \frac{\partial u}{\partial x} + \frac{\partial v}{\partial y} \quad (3.2)$$

Представим перемещения u и v в форме интегралов Фурье

$$u(x, y) = \frac{1}{2\pi} \int_{-\infty}^{\infty} U(\alpha, y) e^{-i\alpha x} d\alpha, \quad v(x, y) = \frac{1}{2\pi} \int_{-\infty}^{\infty} V^0(\alpha, y) e^{-i\alpha x} d\alpha \quad (3.3)$$

Уравнение (3.1) с учетом (3.2), (3.3) относительно $U(\alpha, y)$ и $V^0(\alpha, y) = -iV^1(\alpha, y)$ можно представить в виде

$$MU'' + \alpha(M + \Lambda)V' - \alpha^2(M + \Lambda)U + M'U' + \alpha M'V = 0 \quad (3.4)$$

$$(2M + \Lambda)V'' - \alpha(M + \Lambda)U' - \alpha^2MV + (2M' + \Lambda')V' - \alpha\Lambda'U = 0$$

Введем вспомогательные функции

$$U^*(\alpha, y) = -\theta_0 |\alpha| U(\alpha, y) / Q(\alpha), \quad V^*(\alpha, y) = -\theta_0 |\alpha| V(\alpha, y) / Q(\alpha)$$

$$\theta_0 = 2M(0) [\Lambda(0) + M(0)] / (\Lambda(0) + 2M(0)). \quad (3.5)$$

где $Q(\alpha)$ — трансформанта Фурье искомой функции $q(x)$.

Для сведения смешанной задачи к интегральному уравнению необходимо построить функцию $V^*(\alpha, 0)$. После определения $V^*(\alpha, 0)$, исполь-

зудя условие (2.5), приходим к уравнению вида

$$\int_{-1}^1 \varphi(\xi) k\left(\frac{\xi-x}{\lambda}\right) d\xi = 2\pi\theta_0 f^0(x), \quad |x| \leq 1 \quad (3.6)$$

$$q(\xi) = \varphi\left(\frac{\xi}{a}\right), \quad k(t) = 2 \int_0^{\infty} K(\alpha) \cos \alpha t dt, \quad t = \frac{\xi-x}{\lambda}$$

$$K(\alpha) = \frac{L(\alpha)}{|\alpha|}, \quad f(x) = f^0\left(\frac{x}{a}\right), \quad \lambda = \frac{H}{a}, \quad L(\alpha) \equiv V^*(\alpha, 0)$$

Следует отметить, что в случае однородного или многослойного основания задачи 1 и 2 также сводятся к интегральному уравнению вида (3.6), где функция $L(\alpha)$ определяется следующим образом: а) для однородной полосы [1] для задач 1 и 2 соответственно

$$L(\alpha) = (\operatorname{ch} 2\alpha - 1) / (\operatorname{sh} 2\alpha + 2\alpha) \quad (3.7)$$

$$L(\alpha) = \frac{2\kappa \operatorname{sh} 2\alpha - 4\alpha}{2\kappa \operatorname{ch} 2\alpha + 1 + \kappa^2 + 4\alpha^2}, \quad \kappa = \frac{3M + \Lambda}{M + \Lambda} \quad (3.8)$$

б) для многослойных оснований аналогом функции $L(\alpha)$ для уравнения (3.6) являются функции податливости $A_n(\alpha, h_1, \dots, h_n)$ [8], определяющие характер деформации верхней границы n -слойного основания под действием приложенных к ней нагрузок. Эти функции строятся с помощью рекуррентных соотношений и обладают следующими свойствами: задача 1:

$$A_n(\alpha, h_1, \dots, h_n) \sim 1 - 4h_1^2(1 + \Delta_1)^{-1} \alpha^2 e^{-2\alpha h_1}, \quad (n \geq 2), \quad \alpha \rightarrow \infty \quad (3.9)$$

$$\lim_{\alpha \rightarrow 0} A_n(\alpha, h_1, \dots, h_n) = 0$$

задача 2:

$$A_n(\alpha) = 1 - (\alpha^2 h_1^2 + \alpha h_1) M e^{-2\alpha h_1} + o(e^{-2\alpha h_1}), \quad \alpha \rightarrow \infty$$

$$A_n(\alpha) = \alpha \left(k_1 h_1 + \frac{k_2 h_2}{\Delta_1} + \dots + \frac{k_n h_n}{\Delta_1 \Delta_2 \dots \Delta_{n-1}} \right) + o(\alpha^2), \quad \alpha \rightarrow 0 \quad (3.10)$$

где $\Delta_k = E_{k+1}(1 - \nu_k^2) / (E_k(1 - \nu_{k+1}^2))$, h_k , E_k , ν_k — соответственно толщина, модуль Юнга и коэффициент Пуассона k -го слоя; $A_k(\alpha, h_1, \dots, h_k)$ — функция податливости в нормальном направлении к границе слоя $k_j = = 1/2(1 - 2\nu_j) / (1 - \nu_j)$ $j = 1, 2, \dots$

Ниже изложим метод построения функции $L(\alpha)$ в общем случае непрерывной неоднородности.

4. Построение функции $L(\alpha)$. Рассмотрим вспомогательные задачи 1*, 2* со следующими граничными условиями:

$$\tau_{xy}(x, 0) = 0, \quad \sigma_y(x, 0) = \begin{cases} 0, & |x| > a \\ -q(x), & |x| \leq a \end{cases} \quad (4.1)$$

При $y = -H$ выполнены соответственно условия (2.2) и (2.3).

Введем обозначения

$$w_1 = U, \quad w_2 = U', \quad w_3 = V, \quad w_4 = V' \quad (4.2)$$

(Здесь штрих означает дифференцирование по y .) Систему (2.16) перепишем в матричном виде

$$dw/dy = Aw \quad (4.3)$$

$$A = \begin{pmatrix} 0 & 1 & 0 & 0 \\ \alpha^2 \frac{2M + \Lambda}{M} & -\frac{M'}{M} & -\alpha \frac{M'}{M} & -\alpha \frac{M + \Lambda}{M} \\ 0 & 0 & 0 & 1 \\ \alpha \frac{\Lambda'}{2M + \Lambda} & \alpha \frac{M + \Lambda}{2M + \Lambda} & \alpha^2 \frac{M}{2M + \Lambda} & -\frac{2M' + \Lambda'}{2M + \Lambda} \end{pmatrix}, \quad w = \begin{pmatrix} w_1 \\ w_2 \\ w_3 \\ w_4 \end{pmatrix}$$

Общее решение системы (3.4) при условии $\Lambda' = M' = 0$ ($M \neq 0$) имеет вид

$$U(\alpha, y) = (d_1 + |\alpha| y d_2) e^{-|\alpha| y} + (d_3 + |\alpha| y d_4) e^{|\alpha| y}$$

$$V(\alpha, y) = \operatorname{sgn} \alpha (-d_1 - \kappa d_2 - |\alpha| y d_2) e^{-|\alpha| y} +$$

$$+ \operatorname{sgn} \alpha (d_3 - \kappa d_4 + |\alpha| y d_4) e^{|\alpha| y}$$

$$\kappa = 3 - 4\nu = (\Lambda + 3M) / (\Lambda + M)$$

d_i ($i=1, \dots, 4$) — произвольные функции параметра α .

Решение $w(\alpha, y)$ системы (4.3) строим методом моделирующих функций [6]. Ищем $w(\alpha, y)$ в виде

$$w(\alpha, y) = \sum_{i=1}^4 d_i(\alpha) a_i(\alpha, y) e^{\gamma_i y}, \quad \gamma_{1,2} = -\alpha, \quad \gamma_{3,4} = \alpha \quad (4.4)$$

Здесь векторы $a_i(\alpha, y)$ ($i=1, \dots, 4$) находим из следующих задач Коши:

$$\frac{da_i}{dy} = A a_i - \gamma_i a_i, \quad y \in [-H; 0] \quad (4.5)$$

с начальными условиями

$$a_1(\alpha, -H) = (1, -\alpha, -1, \alpha)$$

$$a_2(\alpha, -H) = (\alpha y, \alpha - \alpha^2 y, -\kappa - \alpha y, -\kappa \alpha - \alpha + \alpha^2 y) |_{y=-H}$$

$$a_3(\alpha, -H) = (1, \alpha, 1, \alpha)$$

$$a_4(\alpha, -H) = (\alpha y, \alpha + \alpha^2 y, -\kappa + \alpha y, -\kappa \alpha + \alpha + \alpha^2 y) |_{y=-H}$$

Постоянные $d_i(\alpha)$ ($i=1, \dots, 4$) определяются из условий (3.1), (2.2), (2.3). В частности для задачи 1:

$$\sum d_i(\alpha) [-\Lambda(0) \alpha a_i^1(\alpha, 0) + (\Lambda(0) + 2M(0)) a_i^4(\alpha, 0)] = \theta_0 \alpha$$

$$\sum d_i(\alpha) [a_i^2(\alpha, 0) + \alpha a_i^3(\alpha, 0)] = 0 \quad (4.6)$$

$$\sum d_i(\alpha) a_i^1(\alpha, -H) = 0, \quad \sum d_i(\alpha) a_i^3(\alpha, -H) = 0 \quad (4.7)$$

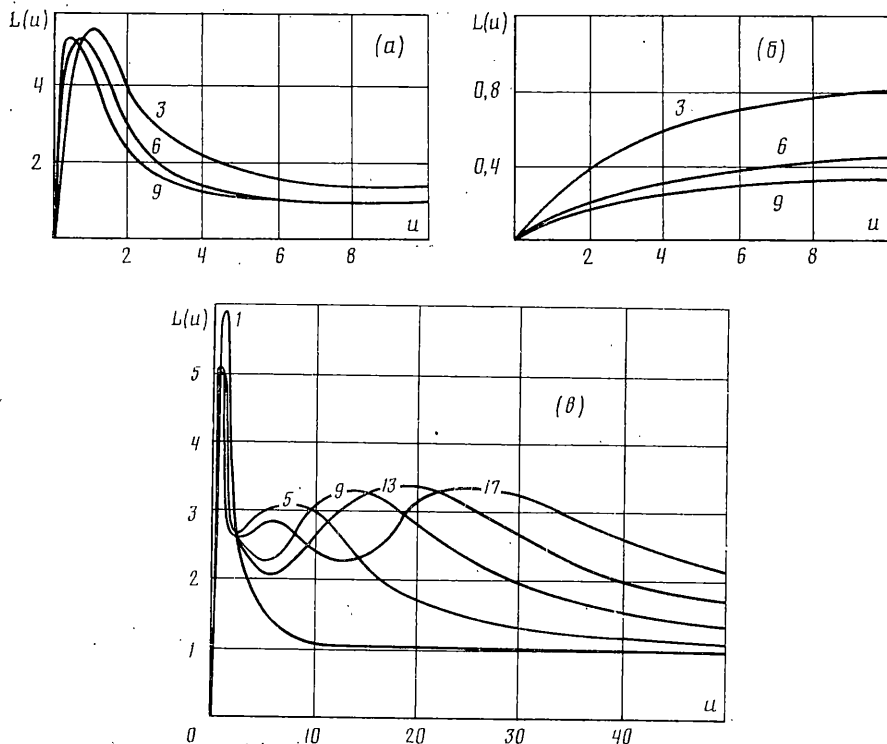
Для задачи 2 уравнения (4.7) надо заменить на следующие:

$$\sum d_i(\alpha) a_i^3(\alpha, -H) = 0, \quad \sum d_i(\alpha) [a_i^2(\alpha, -H) + \alpha a_i^3(\alpha, -H)] = 0 \quad (4.8)$$

Здесь через $a_i^k(\alpha, y)$ обозначена k -я компонента вектора $a_i(\alpha, y)$, а суммы берутся по $i=1, \dots, 4$.

Из (3.6) окончательно получим

$$L(\alpha) = V^*(\alpha, 0) = \sum_{i=1}^4 d_i(\alpha) a_i^3(\alpha, 0) \quad (4.9)$$



Фиг. 1

Можно показать, аналогично [9], что построенная функция $L(\alpha)$ обладает следующими свойствами (A, B, C — некоторые постоянные):

$$L(\alpha) = A|\alpha| + B|\alpha|^2 + o(\alpha^3), \quad \alpha \rightarrow 0 \quad (4.10)$$

$$L(\alpha) = 1 + C|\alpha|^{-1} + o(\alpha^{-2}), \quad \alpha \rightarrow \infty$$

Сравнивая (3.9), (3.10) и (4.10), заметим, что функции $L(\alpha)$ для непрерывно неоднородных и многослойных сред различаются по скорости убывания при $\alpha \rightarrow 0, \alpha \rightarrow \infty$.

На фиг. 1 приведены графики трансформант ядер интегральных уравнений $\tilde{L}(\alpha)$, построенных численно для случая задачи 1, когда модуль Юнга полосы с глубиной изменяется по закону $E(y) = E_0 f(y)$, $-H \leq y \leq 0$, а коэффициент Пуассона $\nu = 1/3$.

Рассматриваются следующие виды неоднородности. Степенной закон, убывающий с глубиной (фиг. 1, а):

$$f(y) = 1,1 - y^{2a_k}, \quad a_k = \frac{\ln(1,1 - k/10)}{2 \ln 0,5}, \quad k = 3, 6, 9 \quad (4.11)$$

Степенной закон, возрастающий с глубиной (фиг. 1, б):

$$f(y) = 0,1 + y^{2a_k}, \quad a_k = \frac{\ln 0,1(k-1)}{2 \ln 0,5}, \quad k = 3, 6, 9 \quad (4.12)$$

Синусоидальный закон (фиг. 1, в):

$$f(y) = 1,1 + \sin(k\pi y/2), \quad k = 1, 5, 9, 13, 17 \quad (4.13)$$

Цифры у кривых соответствуют значениям k . Приведенные графики подтверждают свойства (4.10).

5. Некоторые вспомогательные утверждения об аппроксимации трансформанты ядра интегрального уравнения (3.6). Введем следующие обозначения

$$L_{\Pi}^N(\alpha) = \prod_{n=1}^N \frac{\alpha^2 + \delta_n^2}{\alpha^2 + \gamma_n^2}, \quad L_{\Sigma}^M(\alpha) = \sum_{k=1}^M \frac{c_k |\alpha|}{\alpha^2 + \eta_k^2} \quad (5.1)$$

Покажем, что функцию $L(\alpha)$, обладающую свойствами (4.12), можно аппроксимировать выражениями вида

$$L(\alpha) = \text{th } A\alpha [L_{\Pi}^N(\alpha) + L_{\Sigma}^M(\alpha)] \quad (5.2)$$

Для этого используем лемму [10].

Лемма 5.1. Пусть четная, вещественная, непрерывная на всей действительной оси функция $\varphi(\alpha)$ обращается в нуль на бесконечности, тогда она допускает приближение в $C(-\infty, \infty)$ рядами из функций вида

$$\varphi_k = (\alpha^2 + \eta_k^2)^{-1} \quad (5.3)$$

Эту лемму применим для доказательства следующего утверждения:

Теорема 5.1. При условии, что функция $L(\alpha)$ обладает свойствами (4.10), она допускает аппроксимацию выражениями вида (5.2).

Доказательство. Выберем постоянные δ_n, γ_n ($n=1, \dots, N$) в (5.1) так,

чтобы $\prod_{n=1}^N \delta_n^2 \gamma_n^{-2} = C$.

Рассмотрим функцию

$$L_{\Sigma}(\alpha) = L(\alpha) / |\alpha| \text{th } A\alpha - L_{\Pi}^N(\alpha) / |\alpha| \text{th } A\alpha \quad (5.4)$$

Из условия (4.12) следует, что функция $F(\alpha) = L(\alpha) / |\alpha| \text{th } A\alpha$ обладает следующим свойством:

$$F(\alpha) = |\alpha|^{-1} + o(\alpha^{-2}), \quad \alpha \rightarrow \infty \quad (5.5)$$

Тогда $L_{\Sigma}(\alpha)$ удовлетворяет условию леммы 5.1, т. е. имеет место представление

$$L_{\Sigma}(\alpha) = \sum_{k=1}^{\infty} \frac{C_k}{\alpha^2 + \eta_k^2} \quad (5.6)$$

или из условий (5.4), (5.6):

$$L(\alpha) = \text{th } A\alpha \left[L_{\Pi}^N(\alpha) + \sum_{k=1}^{\infty} \frac{c_k |\alpha|}{\alpha^2 + \eta_k^2} \right] \quad (5.7)$$

Для определения коэффициентов аппроксимации δ_n, γ_n при реализации метода на ЭВМ используем эффективный алгоритм, описанный в [11].

6. Асимптотические свойства решения интегрального уравнения (3.6) при малых и больших λ ($\lambda \rightarrow 0, \lambda \rightarrow \infty$). Ниже, используя следующие соотношения

$$\Phi(\alpha) = \int_{-1}^1 \varphi(\xi) e^{i\alpha\xi} d\xi, \quad (6.1)$$

$$\int_{-\infty}^{\infty} \Phi(\alpha) e^{-i\alpha x} d\alpha = \begin{cases} 2\pi\varphi(x), & |x| \leq 1 \\ 0, & |x| > 1 \end{cases}$$

перепишем (3.6) в виде парного интегрального уравнения

$$\int_{-\infty}^{\infty} \Phi(\alpha) \frac{L(\lambda\alpha)}{|\alpha|} e^{-i\alpha x} d\alpha = 2\pi g(x), \quad |x| \leq 1$$

$$\int_{-\infty}^{\infty} \Phi(\alpha) e^{-i\alpha x} d\alpha = 0, \quad |x| > 1$$
(6.2)

причем $L(\lambda\alpha)$ аппроксимируется выражением вида

$$L(\lambda\alpha) = \text{th } A\lambda\alpha \prod_{n=1}^N \frac{\alpha^2 + \delta_n^2 \lambda^{-2}}{\alpha^2 + \gamma_n^2 \lambda^{-2}}$$
(6.3)

Пусть функция $g(x)$ может быть представлена в виде ряда Фурье:

$$g(x) = \frac{a_0}{2} + \sum_{k=1}^{\infty} (a_k \cos k\pi x + b_k \sin k\pi x)$$
(6.4)

Тогда, используя метод работы [12], получим выражение для напряжений вида

$$\varphi_+(x) = \frac{a_0}{2} \frac{\theta}{Q_{-1/2} [2(\text{ch } \theta - \text{ch } \theta x)]^{1/2}} + \sum_{k=1}^{\infty} a_k \frac{\text{th}(A\lambda k\pi)}{L(\lambda k\pi)} \times$$

$$\times F\left(-\frac{1}{2}, -\frac{1}{2} + i \frac{k\pi}{\theta}, x\right) + \sum_{n=1}^N C_n F\left(-\frac{1}{2}, -\frac{1}{2} + \frac{\delta_n}{\lambda\theta}, x\right)$$
(6.5)

$$F(u, v, x) = \theta \text{ sh } \theta \frac{Q_u P_v^1 - P_v Q_u^1}{Q_u [2(\text{ch } \theta - \text{ch } \theta x)]^{1/2}} -$$

$$- \theta^2 \left(v + \frac{1}{2}\right)^2 \int_x^1 \frac{P_v(\text{ch } \theta\tau) \text{ sh } \theta\tau d\tau}{[2(\text{ch } \theta\tau - \text{ch } \theta x)]^{1/2}}$$

Здесь и далее индекс плюс соответствует четной части $\varphi(x)$, а индекс минус — нечетной; $\theta = \pi/(A\lambda)$; A , δ_n , γ_n — коэффициенты аппроксимации трансформанты ядра интегрального уравнения; $P_u^u \equiv P_u^u(\text{ch } \theta)$, $Q_u^u \equiv Q_u^u(\text{ch } \theta)$ — присоединенные функции Лежандра.

Коэффициенты C_n находятся из следующей линейной алгебраической системы уравнений (сумма по $n=1, \dots, N$):

$$\sum_j x_n = f_m + \sum a_{mn} x_n \quad (m=1, \dots, N)$$
(6.6)

$$x_n = Q_{-1/2}^1 P_{-1/2 + \delta_n/\lambda\theta} C_n$$

$$a_{mn} = \frac{Q_{-1/2}}{Q_{-1/2}^1} R\left(-\frac{1}{2} + \frac{\delta_n}{\lambda\theta}, -\frac{1}{2} + \frac{\gamma_m}{\lambda\theta}\right)$$

$$f_m = \frac{a_0}{2} \text{ sh}^{-1} \theta + \sum_{k=1}^{\infty} a_k \frac{\text{th}(A\lambda k\pi)}{L(\lambda k\pi)} \frac{(k\pi)^2}{Q_{-1/2 + \gamma_m/\lambda\theta}} \times$$

$$\begin{aligned} & \times E\left(-\frac{1}{2} + i\frac{k\pi}{\theta}, -\frac{1}{2} + \frac{\gamma_m}{\lambda\theta}, -\frac{1}{2}\right) \\ R(u, v) &= \frac{(u+1/2)^2 P_u Q_v^1 - (v+1/2)^2 P_u^1 Q_v}{(u-v)(u+v+1)P_u Q_v} \\ E(u, v, w) &= Q_v T(u, v) - Q_v^1 T(u, w) \\ T(u, v) &= \frac{P_u Q_v^1 - Q_v P_u^1}{[(u+1/2)^2 - (v+1/2)^2]\theta^2} \\ \varphi_-(x) &= -\operatorname{sh} \theta x \left[\sum_{k=1}^{\infty} b_k \frac{\operatorname{th}(A\lambda k\pi)}{L(\lambda k\pi)} k\pi S\left(-\frac{1}{2} + i\frac{k\pi}{\theta}, x\right) + \right. \\ & \left. + \sum_{n=1}^N D_n \delta_n \lambda^{-1} S\left(-\frac{1}{2} + \frac{\delta_n}{\lambda\theta}, x\right) \right] \end{aligned} \quad (6.7)$$

$$S(u, x) = \frac{P_u(\operatorname{ch} \theta)}{[2(\operatorname{ch} \theta - \operatorname{ch} \theta x)]^{1/2}} - \theta \int_x^1 \frac{P_u^1(\operatorname{ch} \theta \tau)}{[2(\operatorname{ch} \theta \tau - \operatorname{ch} \theta x)]^{1/2}} d\tau$$

Коэффициенты D_n находим из системы уравнений:

$$\sum_{n=1}^N a_{mn} x_n = f_m, \quad m=1, 2, \dots, N \quad (6.8)$$

$$x_n = D_n \delta_n \lambda^{-1}, \quad a_{mn} = T(-1/2 + \delta_n/\lambda\theta, -1/2 + \gamma_m/\lambda\theta)$$

$$f_m = \sum_{k=1}^{\infty} b_k \frac{\operatorname{th}(A\lambda k\pi)}{L(\lambda k\pi)} k\pi T\left(-\frac{1}{2} + i\frac{k\pi}{\theta}, -\frac{1}{2} + \frac{\gamma_m}{\lambda\theta}\right)$$

И окончательно, в соответствии с принципом суперпозиции

$$\varphi(x) = \varphi_+(x) + \varphi_-(x) \quad (6.9)$$

Связь между вдавливающей силой и осадкой штампа определим, подставив выражение (6.5) в условие равновесия штампа

$$P = \int_{-1}^1 \varphi(x) dx \quad (6.10)$$

Отсюда

$$P = \frac{\pi\delta}{Q_{-1/2}} \left\{ \frac{a_0}{2} P_{-1/2} + \sum_{k=1}^{\infty} a_k \frac{\operatorname{th}(A\lambda k\pi)}{L(\lambda k\pi)} P_{-1/2 + ik\pi/\theta} + \sum_{n=1}^N C_n P_{-1/2 + \delta_n/\lambda\theta} \right\} \quad (6.11)$$

где a_k ($k=0, 1, \dots$) — коэффициенты разложения функции $g(x)$ в ряд Фурье, т. е. $a_k = \int_{-1}^1 g(x) \cos k\pi x dx$, $k=0, 1, 2, \dots$. В общем случае $L(\alpha)$ вида (5.2) решение уравнения (3.6) строится методом последовательных приближений.

Перепишем уравнение (3.6) в операторном виде

$$\Pi_N \varphi + \Sigma_M \varphi = f \quad (6.12)$$

Ниже интегральный оператор, соответствующий функции $L(\alpha)$, принадлежащей классу A , будем также обозначать через A . В (6.12) оператор Π_N соответствует в уравнении (3.6) функции $L(\alpha)$ вида (6.3), а $\Sigma_M - L(\alpha)$ вида $\text{th} AL_{\Sigma^M}(\alpha)$ ($L_{\Sigma^M}(\alpha)$ из (5.1)). Не нарушая общности, полагаем $M=1$, имеем

$$\Sigma_1 \varphi = \frac{\pi}{\eta} B \lambda^{-1} \left[2\theta \eta \sum_{l=1}^{\infty} \frac{1}{-t_l^2 + \eta^2} \int_{-1}^1 \varphi(\xi) e^{-t_l |\xi - x|} d\xi + \right. \\ \left. + \text{tg} \frac{\pi \eta}{\theta} \int_{-1}^1 \varphi(\xi) e^{-\eta |\xi - x|} d\xi \right]$$

Здесь $\eta = \eta' \lambda^{-1}$, $\theta = \pi / (A \lambda)$, $t_l = 1 / 2\theta (2l - 1)$, $l = 1, 2, \dots$; B, η' — некоторые постоянные.

Представим $\Sigma_1 \varphi$ в виде ряда

$$\Sigma_1 \varphi = \frac{c_0}{2} + \sum_{k=1}^{\infty} (c_k^+ \cos k\pi x + c_k^- \sin k\pi x)$$

Коэффициенты c_k^{\pm} находятся по формулам:

$$c_k^{\pm} = 4\pi B \lambda^{-1} \left\{ \left(2\theta \sum_{l=1}^{\infty} \frac{\tau}{t_l^2 + k^2 \pi^2} + \frac{t}{\eta^2 + k^2 \pi^2} \right) \int_0^1 \varphi_{\pm}(\xi) h^{\pm}(ik\pi\xi) d\xi + \right. \\ \left. + (-1)^{k+1} \left[2\theta \sum_{l=1}^{\infty} \tau e(t_l) \int_0^1 \varphi_{\pm}(\xi) h^{\pm}(t_l \xi) d\xi + t e(\eta) \int_0^1 \varphi_{\pm}(\xi) h^{\pm}(\eta \xi) d\xi \right] \right\} \quad (6.13)$$

$$\tau = \frac{t_l}{\eta^2 - t_l^2}, \quad t = \text{tg} \frac{\pi \eta}{\theta}; \quad e(a) = (a^2 + \eta^2) \exp(a)$$

$$h^+(a\xi) = \text{ch } a\xi, \quad h^-(a\xi) = k\pi a^{-1} \text{sh } a\xi$$

Используя (6.13), получим следующую оценку

$$\max_{x \in [-1, 1]} |\Sigma_1 \varphi| \sqrt{1-x^2} \leq |c_0| + \sum_{k=1}^{\infty} (|c_k^+| + |c_k^-|) \leq \lambda M^*, \quad \lambda \rightarrow 0 \quad (\lambda < \lambda^*) \quad (6.14)$$

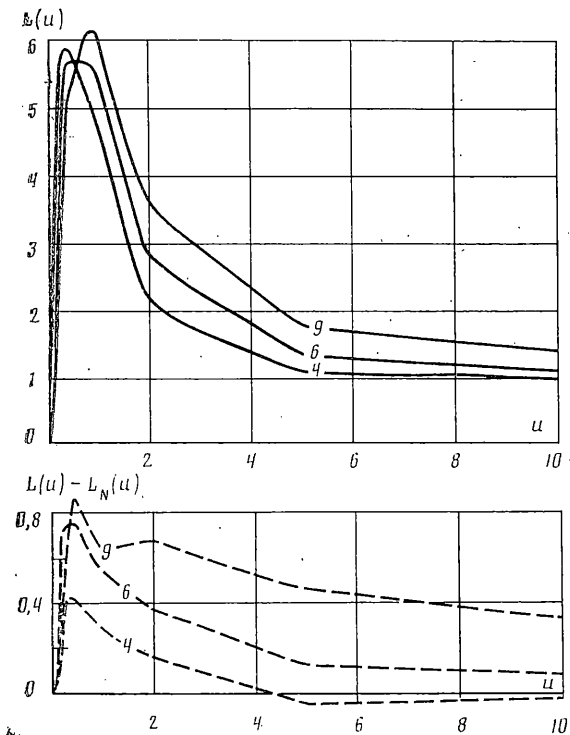
а также оценку, аналогичную (6.14) для $\lambda \rightarrow \infty$ ($\lambda > \lambda^0$), при замене правой части на $\lambda^{-1} M^0$, где M^*, M^0 не зависят от λ . Поэтому из (6.10) следует, что λ можно выбирать таким образом, что оператор $\Pi_N^{-1} \Sigma_M$ будет оператором сжатия [13].

Применяя далее к уравнению

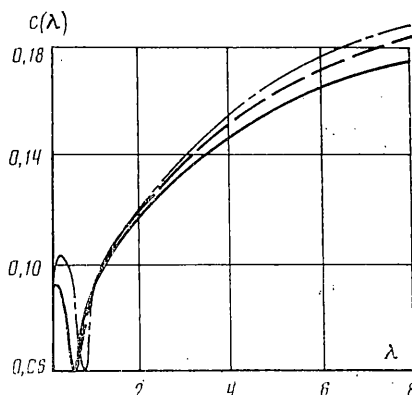
$$\varphi + \Pi_N^{-1} \Sigma_M \varphi = \Pi_N^{-1} f \quad (6.15)$$

принцип Банаха сжатых отображений, получим доказательство существования и единственности решения уравнения (6.7) при $0 < \lambda < \lambda^*$ и $\lambda > \lambda^0$ где λ^* и λ^0 — некоторые фиксированные значения λ , т. е. доказана

Теорема 6.1. Уравнение (3.6) однозначно разрешимо в пространстве $C_{k+\frac{1}{2}}^{(k)}(-1, 1)$ при $L(u)$ вида (5.2), если $f(x) \in B_{k+2}^{k+\frac{1}{2}}(-1, 1)$, $\varepsilon > 0$ при



Фиг. 2



Фиг. 3

$0 < \lambda < \lambda^*$, $\lambda > \lambda^0$, где λ^* , λ^0 — некоторые фиксированные значения λ и имеет место оценка

$$\| \varphi(x) \|_{C_{k+1/2}^{(k)}(-1,1)} \leq m(\Pi_N, \Sigma_M, k) \| g(x) \|_{B_{k+2}^{1/2+\varepsilon}(-1,1)}$$

7. Пример. На фиг. 2 приведены графики трансформант ядер $L(u)$, соответствующие степенному закону неоднородности (4.11) при $k=4$, $k=6$ и $k=9$ (сплошные кривые), штриховые кривые соответствуют разности между точным и аппроксимирующим значением трансформанты ядра вида (6.3) при $N=10$.

Изменение величины $c(\lambda) = \delta_n / \delta_0$, характеризующей влияние неоднородности основания на осадку штампа δ_n по сравнению с однородной полосой δ_0 при одной и той же величине вдавливающей силы P , в зависимости от λ показано на фиг. 3. Значения $c(\lambda)$ получены двухсторонним асимптотическим методом при $\gamma(\chi) = 0$. Сплошная кривая соответствует $k=4$, штриховая — $k=6$, штрихпунктирная — $k=9$. Из фиг. 3 видно, что при $\lambda < 1$ для одного и того же вида неоднородности имеют место одинаковые значения $c(\lambda)$ для двух разных толщин неоднородной полосы при неизменных величинах вдавливающей силы и радиуса штампа.

СПИСОК ЛИТЕРАТУРЫ

1. Ворович И. И., Александров В. М., Бабешко В. А. Неклассические смешанные задачи теории упругости. М.: Наука, 1974. 456 с.
2. Развитие теории контактных задач в СССР. М.: Наука, 1976. 493 с.
3. Gibson R. E., Brown P. T., Andrews K. R. F. Some results concerning displacements in a non-homogeneous elastic layer // Z. angew. Math. and Phys. 1971. Bd. 22, H. 5. S. 855–864.
4. Никишин В. С. Задачи теории упругости для неоднородных сред. М.: ВЦ АН СССР, 1976. 60 с.
5. Наумов Ю. А., Шевляков Ю. А., Чистяк В. И. К решению основных задач теории упругости для слоя с произвольной неоднородностью по толщине // Прикл. механика. 1970. Т. 6. № 7. С. 25–31.

6. Статические и динамические смешанные задачи теории упругости. Ростов-на-Дону: Ростов. ун-т, 1983. 263 с.
7. Лурье А. И. Теория упругости. М.: Наука, 1970. 939 с.
8. Приварников А. К. Пространственная деформация многослойного основания // Устойчивость и прочность элементов конструкций. Днепропетровск: Днепропетр. ун-т, 1973. С. 27-45.
9. Айзикович С. М., Александров В. М. О свойствах функций податливости, соответствующих слоистому и непрерывно-неоднородному полупространству // Докл. АН СССР. 1982. Т. 266. № 1. С. 40-43.
10. Зигмунд А. Тригонометрические ряды. М.: Мир, 1965. Т. 1. 615 с.; Т. 2. 537 с.
11. Айзикович С. М. Асимптотические решения контактных задач теории упругости для неоднородных по глубине сред // ПММ. Т. 46. Вып. 1, 1982. С. 148-158.
12. Зеленцов В. Б. О решении одного класса интегральных уравнений // ПММ. 1982. Т. 46. Вып. 5. С. 815-820.
13. Канторович П. В., Акилов Г. П. Функциональный анализ. М.: Наука, 1977. 742 с.

Ростов н/Д

Поступила в редакцию
27.VI.1989